

Interpretazione cinematica dei punti cuspidali

Marcello Colozzo

[<http://www.extrabyte.info>]

Consideriamo una particella di massa m che compie un moto piano lungo una traiettoria γ_+ di rappresentazione parametrica:

$$x(t) = v_0 t, \quad y(t) = y_0 + \eta_0 \sqrt{|t - t_0|}, \quad t \in [0, +\infty), \quad (1)$$

essendo t il tempo, mentre $v_0 > 0$ e $\eta_0 > 0$ sono due costanti con le appropriate dimensioni¹. Il numero reale $t_0 > 0$ è, invece, un istante assegnato da non confondere con l'istante iniziale che è $t = 0$. La traiettoria γ_+ non è una curva regolare poiché $\dot{y}(t)$ ha una discontinuità di seconda specie in t_0 . Infatti:

$$y(t) = \begin{cases} y_0 + \eta_0 \sqrt{t - t_0}, & \text{se } t \geq t_0 \\ y_0 + \eta_0 \sqrt{t_0 - t}, & \text{se } 0 \leq t < t_0 \end{cases}, \quad (2)$$

onde:

$$\dot{y}(t) = \begin{cases} \frac{\eta_0}{2\sqrt{t-t_0}}, & \text{se } t > t_0 \\ -\frac{\eta_0}{2\sqrt{t_0-t}}, & \text{se } 0 \leq t < t_0 \end{cases} \quad (3)$$

La derivata prima è definita in $[0, t_0) \cup (t_0, +\infty)$, ed eseguendo il limite per $t \rightarrow t_0$:

$$\lim_{t \rightarrow t_0^-} \dot{y}(t) = -\infty, \quad \lim_{t \rightarrow t_0^+} \dot{y}(t) = +\infty, \quad (4)$$

da cui la natura cuspidale del punto $(t_0, y_0) \in \Gamma_y : y = y(t)$. Studiamo ora la funzione $y(t)$.

Insieme di definizione

La funzione (2) è definita in \mathbb{R} , ma dal momento che il tempo t è non negativo, consideriamo la restrizione a $[0, +\infty)$ in accordo con la (1).

Studio del segno

Risulta $y(t) \geq 0, \forall t \in [0, +\infty)$, per cui Γ_y è contenuto nel primo quadrante.

Intersezione con gli assi

$$y(t) = 0 \iff \sqrt{|t - t_0|} = -\frac{y_0}{\eta_0} \quad \text{mai!} \quad (5)$$

giacchè è $y_0, \eta_0 > 0$. Ne consegue che Γ_y non interseca l'asse delle ascisse.

$$y(0) = y_0 + \eta_0 \sqrt{t_0} \stackrel{\text{def}}{=} y_1 > y_0 \quad (6)$$

Cioè Γ_y interseca l'asse delle ordinate nel punto $(0, y_1)$.

Studio della derivata prima

Dalle (3) vediamo che

$$\begin{aligned} \dot{y}(t) > 0 &\iff t > t_0 \\ 0 \leq t < t_0 &\implies \dot{y}(t) < 0 \end{aligned} \quad (7)$$

Cioè la funzione $y(t)$ è strettamente crescente in $(t_0, +\infty)$ e strettamente decrescente in $(0, t_0)$.

Derivata seconda

$$\ddot{y}(t) = \begin{cases} -\frac{\eta_0}{4\sqrt{(t-t_0)^3}}, & \text{se } t > t_0 \\ -\frac{\eta_0}{4\sqrt{(t_0-t)^3}}, & \text{se } 0 \leq t < t_0 \end{cases} \quad (8)$$

¹In particolare, v_0 è la componente della velocità \mathbf{v} della particella nella direzione dell'asse x .

Riesce

$$\ddot{y}(t) = -\frac{\eta_0}{4\sqrt{|t-t_0|^3}} < 0, \quad \forall t \in [0, t_0) \cup (t_0, +\infty)$$

Ne consegue che $\Gamma_y : y = y(t)$ volge la concavità verso il basso.

Comportamento all'infinito. Asintoti obliqui

$$\lim_{t \rightarrow +\infty} y(t) = +\infty$$

Inoltre:

$$\lim_{t \rightarrow +\infty} \dot{y}(t) = 0,$$

per cui il grafico Γ_y è privo di asintoti obliqui.

Dalle (7) emerge che il punto cuspidale (t_0, y_0) è punto di minimo assoluto per la funzione $y(t)$. A questo punto siamo in grado di tracciare il grafico Γ_y , come illustrato in fig. 1.

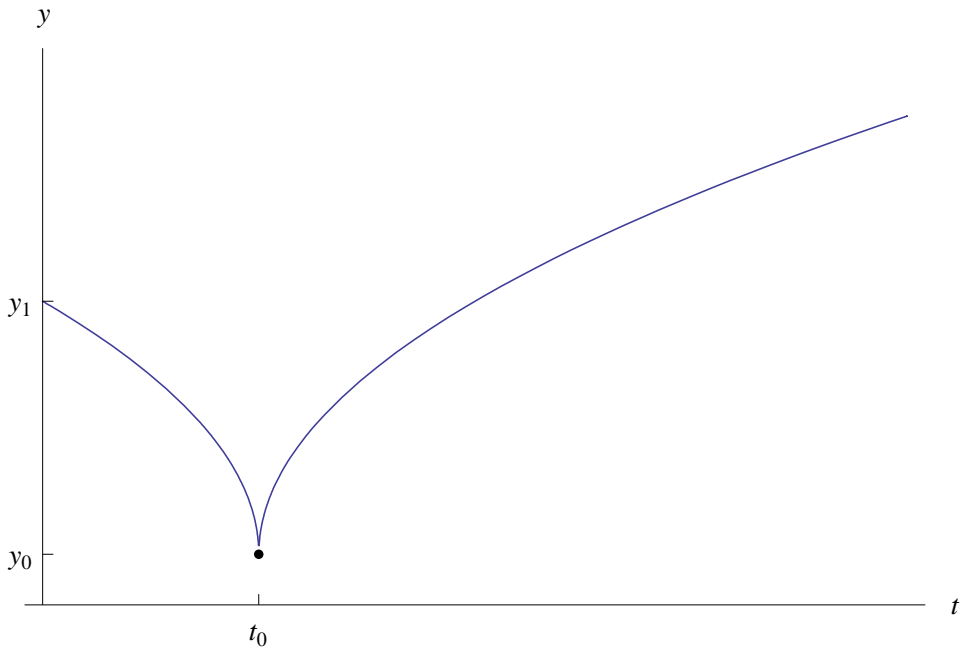


Figura 1: Grafico dell'ordinata y della particella in funzione del tempo. Il punto (t_0, y_0) è una cuspide.

Eliminando il parametro t tra le (1), otteniamo la rappresentazione ordinaria della traiettoria, cioè $\gamma_+ : y = f(x)$, dove:

$$f(x) = y_0 + \eta_0 v_0^{-1/2} \sqrt{|x - x_0|}, \quad \forall x \in [0, +\infty) \quad (9)$$

essendo $x_0 \stackrel{\text{def}}{=} x(t_0)$. Svincoliamoci dal valore assoluto:

$$f(x) = \begin{cases} y_0 + \eta_0 v_0^{-1/2} \sqrt{x - x_0}, & \text{se } x \geq x_0 \\ y_0 + \eta_0 v_0^{-1/2} \sqrt{x_0 - x}, & \text{se } 0 \leq x < x_0 \end{cases}, \quad (10)$$

la cui derivata prima è:

$$f'(x) = \begin{cases} \frac{\eta_0 v_0^{-1/2}}{2\sqrt{x-x_0}}, & \text{se } x > x_0 \\ -\frac{\eta_0 v_0^{-1/2}}{2\sqrt{x_0-x}}, & \text{se } 0 \leq x < x_0 \end{cases}, \quad (11)$$

avendosi:

$$\lim_{x \rightarrow x_0^-} f'(x) = -\infty, \quad \lim_{x \rightarrow x_0^+} f'(x) = +\infty$$

Ne consegue che $P_0(x_0, y_0)$ è un punto cuspidale per γ_+ . Inoltre:

$$\begin{aligned} f'(x) &> 0, \quad \forall x \in (x_0, +\infty) \\ f'(x) &< 0, \quad \forall x \in [0, x_0) \end{aligned}$$

Ciò implica la stretta crescenza di $f(x)$ in $(x_0, +\infty)$, mentre la funzione è strettamente decrescente in $(0, x_0)$. È facile persuadersi che $f''(x) < 0, \forall x \in (0, +\infty) - \{x_0\}$. Il comportamento agli estremi del campo di esistenza è:

$$f(0) = y_0 + \eta_0 v_0^{1/2} \sqrt{x_0} = y_0 + \eta_0 \sqrt{t_0},$$

cioè $f(0) = y_1$, dove y_1 è dato dalla (6). Inoltre:

$$\lim_{x \rightarrow +\infty} f(x) = +\infty,$$

per cui la funzione diverge positivamente per $x \rightarrow +\infty$, mentre il grafico è privo di asintoti obliqui, giacchè $\lim_{x \rightarrow +\infty} f'(x) = 0$.

L'analisi eseguita ci consente di tracciare la traiettoria della particella (cfr. fig. 2).

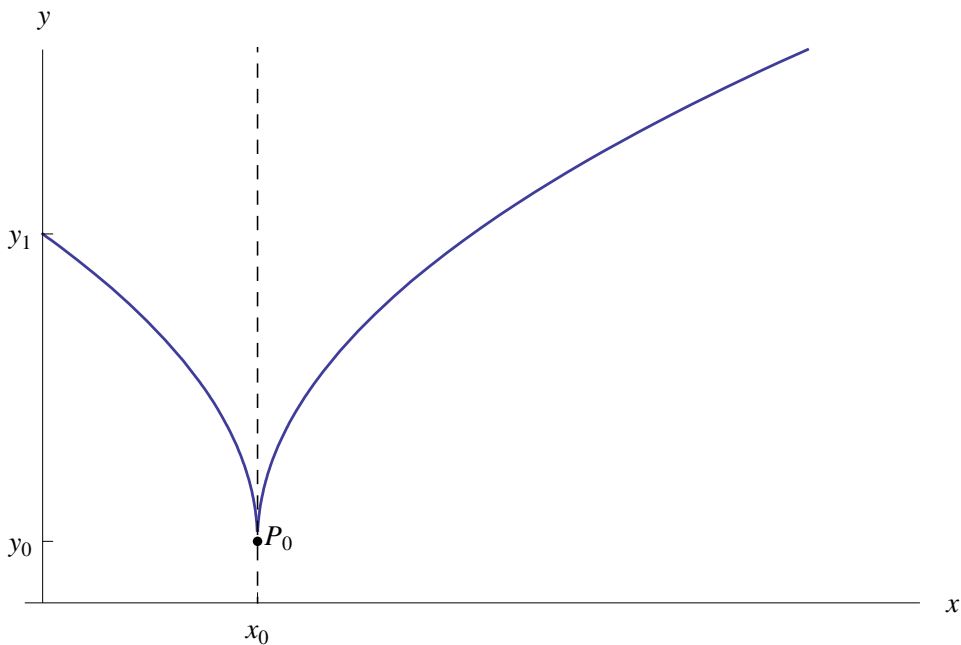


Figura 2: Traiettoria della particella.

Il vettore velocità della particella è:

$$\mathbf{v}(t) = \dot{x}(t)\mathbf{i} + \dot{y}(t)\mathbf{j} \quad (12)$$

essendo \mathbf{i} e \mathbf{j} i versori degli assi coordinati. Abbiamo

$$\mathbf{v}(t) = \begin{cases} v_0\mathbf{i} - \frac{\eta_0}{2\sqrt{t_0-t}}\mathbf{j}, & \text{se } 0 \leq t < t_0 \\ v_0\mathbf{i} + \frac{\eta_0}{2\sqrt{t-t_0}}\mathbf{j}, & \text{se } t > t_0 \end{cases} \quad (13)$$

Si osservi che il moto componente secondo la direzione dell'asse x è uniforme, poichè avviene a velocità costante il cui modulo è $v_0 > 0$. Si tratta, in particolare, di un moto progressivo in quanto la particella si sposta nella direzione positiva dell'asse x . Per contro, il moto componente lungo l'asse y è decelerato, giacchè $\dot{y}(t) < 0$. Tale moto è regressivo per $t < t_0$, per poi divenire progressivo a ogni $t > t_0$. Inoltre, la funzione vettoriale (13) della variabile reale t , ha il seguente comportamento:

$$\lim_{t \rightarrow t_0^-} \mathbf{v}(t) = v_0\mathbf{i} + (-\infty)\mathbf{j}, \quad \lim_{t \rightarrow t_0^+} \mathbf{v}(t) = v_0\mathbf{i} + (+\infty)\mathbf{j}$$

Infatti, per quanto precede, la componente secondo l'asse y , della funzione $\mathbf{v}(t)$ diverge negativamente per $t \rightarrow t_0^-$, positivamente per $t \rightarrow t_0^+$. Ciò implica che quando la particella transita per $P_0(x_0, y_0)$, la componente v_y della velocità passa istantaneamente da $-\infty$ a $+\infty$, ed è chiaro che l'accelerazione è altrettanto infinita². Più precisamente:

$$\mathbf{a}(t) = \ddot{x}(t)\mathbf{i} + \ddot{y}(t)\mathbf{j} \quad (14)$$

Tenendo conto delle (8):

$$\mathbf{a}(t) = \begin{cases} -\frac{\eta_0}{4\sqrt{(t_0-t)^3}}\mathbf{j}, & \text{se } 0 \leq t < t_0 \\ -\frac{\eta_0}{4\sqrt{(t-t_0)^3}}\mathbf{j}, & \text{se } t > t_0 \end{cases}, \quad (15)$$

o ciò che è lo stesso

$$\mathbf{a}(t) = -\frac{\eta_0}{4\sqrt{|t-t_0|^3}}\mathbf{j} \quad (16)$$

In fig. 3 sono riportati i grafici delle funzioni $\dot{y}(t)$ e $\ddot{y}(t)$.

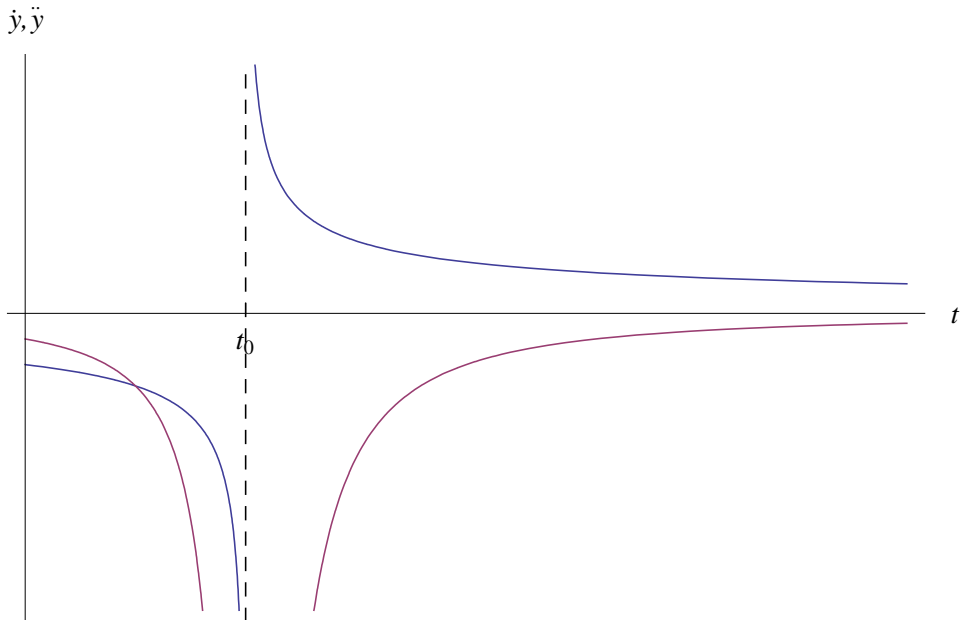


Figura 3: La curva blu è l'andamento della componente $v_y = \dot{y}$ della velocità in funzione del tempo, mentre l'altra curva è il grafico della componente $a_y = \ddot{y}$ dell'accelerazione.

Se m è la massa della particella, la forza agente su di essa è:

$$\mathbf{F}(t) = m\mathbf{a}(t)$$

Cioè

$$\mathbf{F}(t) = -\frac{m\eta_0}{4\sqrt{|t-t_0|^3}}\mathbf{j} \quad (17)$$

Dalla $y(t) = y_0 + \eta_0 \sqrt{|t-t_0|}$ ricaviamo

$$\sqrt{|t-t_0|} = \frac{y-y_0}{\eta_0}, \quad \forall y \in [y_0, +\infty),$$

²Per $t \rightarrow t_0$, la variazione istantanea della componente $v_y(t) = \dot{y}(t)$ della velocità da $-\infty$ a $+\infty$, sembrerebbe produrre un'accelerazione divergente a $+\infty$. In realtà, l'accelerazione diverge negativamente poiché $v_y(t)$ risulta essere strettamente decrescente in ogni intorno di t_0 (cfr. grafico della fig. 3).

per sostituirla nella (17):

$$\mathbf{F}(y) = -\frac{m\eta_0^4}{4(y-y_0)^3}\mathbf{j}, \quad \forall y \in (y_0, +\infty) \quad (18)$$

Cioè la forza agente sulla particella è posizionale, e come tale deriva da un potenziale U e quindi da un'energia potenziale $V = -U$ tale che

$$\mathbf{F}(y) = \nabla U = -\nabla V,$$

osservando che \mathbf{F} dipende dalla sola variabile y :

$$\mathbf{F}(y) = -\frac{dV(y)}{dy}\mathbf{j},$$

per cui

$$\begin{aligned} V(y) &= \frac{m\eta_0^4}{4} \int \frac{dy}{(y-y_0)^3} \\ &= -\frac{m\eta_0^4}{8(y-y_0)^2} + V_0, \quad \forall y \in (y_0, +\infty) \end{aligned}$$

Un qualunque campo si annulla all'infinito, onde:

$$\lim_{y \rightarrow +\infty} V(y) = 0 \implies V_0 = 0$$

Quindi:

$$V(y) = -\frac{m\eta_0^4}{8(y-y_0)^2}, \quad \forall y \in (y_0, +\infty) \quad (19)$$

Riepilogando: man mano che la particella si avvicina alla singolarità $P_0(x_0, y_0)$, il campo diviene progressivamente più intenso e tale sarà il modulo della forza che ne deriva. Quest'ultima incurverà la traiettoria fino a quando ($t \rightarrow t_0 \implies |\mathbf{F}(t)| \rightarrow +\infty$) questa risulterà essere tangente alla retta verticale $x = x_0$. Qui il vettore velocità avrà modulo infinito con orientamento verso il basso, per invertire istantaneamente il verso, conservando la direzione. Per tale ragione, il punto cuspidale $P_0(x_0, y_0)$ è anche denominato *punto di regresso (rebroussment [1])*. Si badi che tale configurazione cinematica contraddice uno dei postulati della Relatività Speciale, secondo cui l'estremo superiore dell'insieme \mathcal{V} dei valori assunti dalla velocità di particelle massive è pari a c i.e. velocità della luce nel vuoto ($< +\infty$):

$$c = \sup \mathcal{V} < +\infty$$

Consideriamo ora la traiettoria γ_- di rappresentazione parametrica:

$$x(t) = v_0 t, \quad y(t) = y_0 - \eta_0 \sqrt{|t-t_0|}, \quad t \in [0, +\infty) \quad (20)$$

Studiando la funzione $y(t) = y_0 - \eta_0 \sqrt{|t-t_0|}$ si perviene al grafico riportato in fig. 4.

Riportiamo di seguito le derivate – prima e seconda – della $y(t)$:

$$\begin{aligned} \dot{y}(t) &= \begin{cases} -\frac{\eta_0}{2\sqrt{t-t_0}}, & \text{se } t > t_0 \\ \frac{\eta_0}{2\sqrt{t_0-t}}, & \text{se } 0 \leq t < t_0 \end{cases} \\ \ddot{y}(t) &= \frac{\eta_0}{4\sqrt{|t-t_0|^3}} \end{aligned} \quad (21)$$

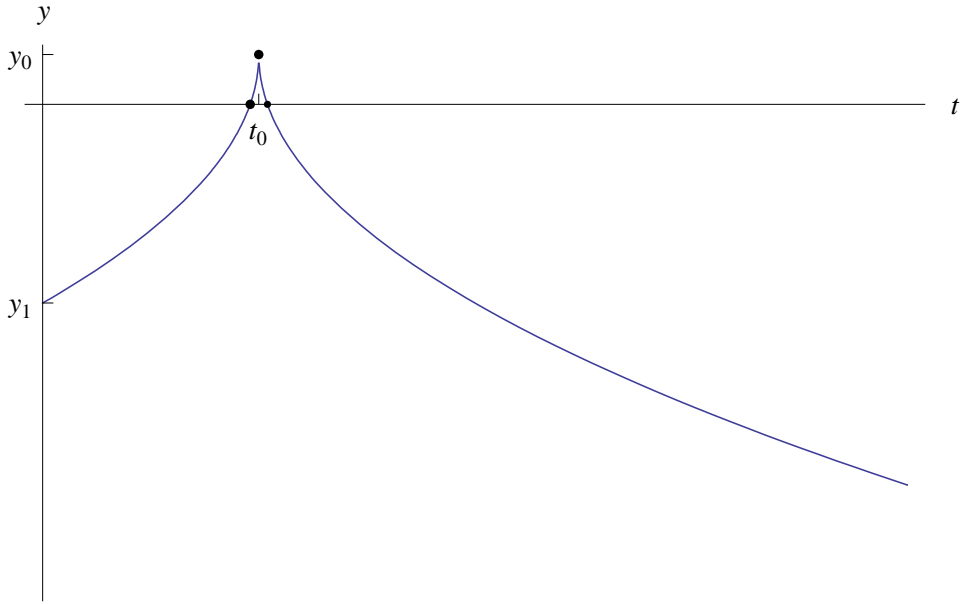


Figura 4: Andamento dell'ordinata $y = y_0 - \eta_0 \sqrt{|t - t_0|}$ in funzione del tempo t . In questo caso, il diagramma orario interseca l'asse delle ascisse nei punti $t_{1,2} = t_0 \mp \left(\frac{y_0}{\eta_0}\right)^2$. Il diagramma interseca l'asse delle ordinate nel punto di ordinata $y_1 = y_0 - \eta_0 \sqrt{t_0}$.

Quindi il vettore velocità:

$$\mathbf{v}(t) = \begin{cases} v_0 \mathbf{i} + \frac{\eta_0}{2\sqrt{t_0-t}} \mathbf{j}, & \text{se } 0 \leq t < t_0 \\ v_0 \mathbf{i} - \frac{\eta_0}{2\sqrt{t-t_0}} \mathbf{j}, & \text{se } t > t_0 \end{cases}, \quad (22)$$

e il vettore accelerazione:

$$\mathbf{a}(t) = \frac{\eta_0}{4\sqrt{|t - t_0|^3}} \mathbf{j} \quad (23)$$

E la forza:

$$\mathbf{F}(t) = \frac{m\eta_0}{4\sqrt{|t - t_0|^3}} \mathbf{j} \quad (24)$$

In questo caso la velocità ha il seguente comportamento:

$$\lim_{t \rightarrow t_0^-} \mathbf{v}(t) = v_0 \mathbf{i} + (+\infty) \mathbf{j}, \quad \lim_{t \rightarrow t_0^+} \mathbf{v}(t) = v_0 \mathbf{i} + (-\infty) \mathbf{j}$$

da cui vediamo che transitando per la cuspide, la componente v_y del vettore velocità passa istantaneamente da $+\infty$ a $-\infty$. Svincoliamoci dalla variabile t ricavando dalla $y(t) = y_0 - \eta_0 \sqrt{|t - t_0|}$

$$\sqrt{|t - t_0|} = \frac{y_0 - y}{\eta_0}, \quad \forall y \in (-\infty, y_0),$$

che sostituita nella (24) porge

$$\mathbf{F}(y) = \frac{m\eta_0^4}{4(y_0 - y)^3} \mathbf{j}, \quad \forall y \in (-\infty, y_0) \quad (25)$$

L'energia potenziale del campo $\mathbf{F}(y)$ è

$$\begin{aligned} V(y) &= -\frac{m\eta_0^4}{4} \int (y_0 - y)^{-3} dy \\ &= -\frac{m\eta_0^4}{8(y_0 - y)^2} + V'_0, \quad \forall y \in (-\infty, y_0) \end{aligned}$$

Al solito, il campo si annulla all'infinito:

$$\lim_{y \rightarrow -\infty} V(y) = 0,$$

onde $V'_0 = 0$. Quindi:

$$V(y) = -\frac{m\eta_0^4}{8(y_0 - y)^2}, \quad \forall y \in (-\infty, 0) \quad (26)$$

Le (19)-(26) si riuniscono in un'unica equazione:

$$V(y) = -\frac{m\eta_0^4}{8(y - y_0)^2}, \quad \forall y \in \mathbb{R} - \{y_0\}, \quad (27)$$

che è una buca di potenziale infinitamente profonda come riportato in fig. 5.

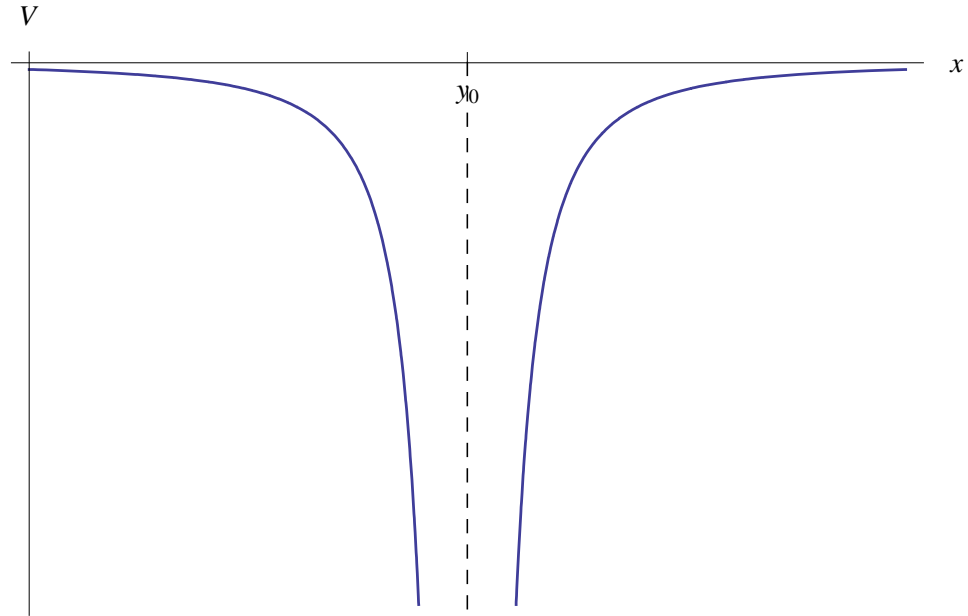


Figura 5: Buca di potenziale infinitamente profonda.

Per quanto riguarda l'espressione analitica della forza agente sulla particella, le (18)-(25) si riuniscono nell'unica espressione:

$$\mathbf{F}(y) = -\frac{m\eta_0^4}{4|y - y_0|^3} \mathbf{j}$$

Ne consegue che le traiettorie γ_{\pm} sono le curve integrali del sistema di equazioni differenziali:

$$\begin{cases} \ddot{x} = 0 \\ \ddot{y} = -\frac{\eta_0^4}{4|y - y_0|^3} \end{cases} \quad (28)$$

Le condizioni iniziali:

$$\begin{aligned} x(0) &= 0, \quad \dot{x}(0) = v_0 \\ y(0) &= y_1 > 0, \quad \dot{y}(0) = -\frac{\eta_0}{2\sqrt{t_0}} \end{aligned}$$

danno luogo alla traiettoria γ_+ . L'ordinata y_1 è fissata dai parametri $\eta_0 > 0, t_0 > 0$, giacchè $y_1 = y_0 + \eta_0\sqrt{t_0}$. Le condizioni iniziali:

$$\begin{aligned} x(0) &= 0, \quad \dot{x}(0) = v_0 \\ y(0) &= y_1 < 0, \quad \dot{y}(0) = \frac{\eta_0}{2\sqrt{t_0}} \end{aligned}$$

danno luogo alla traiettoria γ_- . Si noti che anche qui l'ordinata y_1 è fissata dai parametri $\eta_0 > 0$, $t_0 > 0$, avendosi $y_1 = y_0 - \eta_0\sqrt{t_0}$.

Riferimenti bibliografici

- [1] Fiorenza R.: *Lezioni di Analisi matematica*, Liguori, 1978